

решалось методом последовательных приближений. После первой итерации получили  $\lambda_1 = (\alpha^4/4) (-0.53125Z^4 + 0.2128Z^3)$ ,  $\lambda_2 = (\alpha^2/4) (0.65625Z^4 + 0.5304Z^3)$ . В результате проведенной диагонализации полученные выражения для энергии приведены в табл. 2.

Таблица 2

Выражения для энергии по НРТ и РТ после диагонализации матрицы энергии

Состояния	E
$1s2p\ ^3P_1$	$-0.625Z^2 + 0.225728Z - 0.072994 - 0.1640625\alpha^2Z^4 + 0.1326\alpha^2Z^3$
$1s2p\ ^1P_1$	$-0.625Z^2 + 0.259869Z - 0.157028 - 0.1328125\alpha^2Z^4 + 0.0532\alpha^2Z^3$
$1s_{1/2}2p_{3/2}\ ^1$	$-0.625Z^2 + 0.225728Z - 0.1640625\alpha^2Z^4 + 0.132621\alpha^2Z^3$
$1s_{1/2}2p_{1/2}\ ^1$	$-0.625Z^2 + 0.259869Z - 0.1328125\alpha^2Z^4 + 0.0532108\alpha^2Z^3$

Перейдем к релятивистскому расчету. Недиагональный элемент матрицы энергии между состояниями  $1s_{1/2}2p_{1/2}\ ^1$  и  $1s_{1/2}2p_{3/2}\ ^1$ , согласно [1], равен

$$-0.0160943Z + 0.0257505\alpha^2Z^3. \quad (3)$$

Проведенный ниже расчет показывает, что член с  $\alpha^2Z^3$  в (3) не нужен. Учитывая в (3) только  $\alpha Z$ , при диагонализации матрицы энергии влияние этого члена будут сказываться только на коэффициентах при  $Z$  в выражении для энергии. Решение полученного векового уравнения дает  $\lambda_1 = 0.259869$ ,  $\lambda_2 = 0.225727$ .

В табл. 2 приведены полученные в результате этой диагонализации выражения для энергии. Из этой таблицы следует, что НРТ и РТ возмущений приводят к эквивалентным результатам, если, во-первых, при использовании РТ возмущений недиагональные члены при диагонализации матрицы энергии брать в нерелятивистском пределе и, во-вторых, при использовании НРТ возмущений диагонализовать матрицы с членами  $\alpha Z^4$  и  $\alpha Z^3$  и полученное вековое уравнение решить по теории возмущений, ограничиваясь первым приближением.

В заключение считаем своим приятным долгом выразить благодарность Л. Н. Лабзовскому за полезные дискуссии.

#### Литература

- [1] H. T. Doyle. Adv. Atom. Mol. Phys., 5, 337, 1969.
- [2] D. Liberman, J. T. Waber, D. T. Gromer. Phys. Rev., 137A, 27, 1965.
- [3] A. Rosen, I. Lindgren. Phys. Rev., 176, 114, 1968.
- [4] A. M. Desiderio, W. R. Sonsen. Phys. Rev., 3A, 1267, 1971.
- [5] Л. Н. Лабзовский. ЖЭТФ, 59, 168, 1970.
- [6] Г. Бете, Э. Солпитер. Квантовая механика атомов с одним и двумя электронами. Физматгиз, М., 1960.
- [7] Л. И. Ахieзер, В. Б. Берестецкий. Квантовая электродинамика. Изд. «Наука», М., 1969.

Поступило в Редакцию 21 мая 1973 г.

УДК 539.184

## О МЕХАНИЗМЕ ИНВЕРСИИ НАСЕЛЕНОСТЕЙ В АТОМНОМ ВОДОРОДЕ

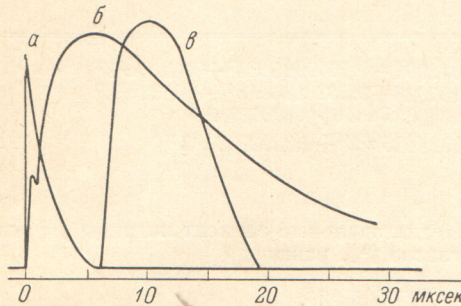
B. C. Алейников и A. P. Шелепо

Оптическая генерация в спектре атомного водорода, наблюдавшаяся в [1], интересна с точки зрения механизма создания инверсии населенностей, имеющего место в этой простейшей атомной системе. Но в [1] не приводятся временные характеристики импульса генерации, поэтому факт генерации нельзя однозначно связать с каким-либо явлением, происходящим в плазме. Оценки, выполненные ранее в работах [2, 3], показали, что в распадающейся водородной плазме при определенных условиях инверсия населенностей на ряде переходов атомного водорода может быть реализована за счет процесса ударно-излучательной рекомбинации.

Ниже приводятся типичные временные зависимости населенности верхнего лазерного уровня и мощности когерентного излучения с длиной волны 1.87 мкм НI,

подтверждающие роль рекомбинационных процессов в образовании усилительной среды на переходе 4—3 в атомном водороде.

Экспериментальные результаты были получены в условиях, близких к описанным в [1]. Газоразрядные трубки с активной длиной 1 м и диаметром  $10 \div 30$  мм наполнялись гелием или неоном при давлении  $0.5 \div 10$  мм рт. ст. со «следами» водорода или паров воды (давление  $10^{-4} \div 10^{-5}$  мм рт. ст.). Разряд возбуждался электрическими импульсами длительностью  $1 \div 2.5$  мкsec. с амплитудой до 30 кв. Резонатор состоял из двух зеркал с золотым покрытием, расположенных на расстоянии 1.5 м друг от друга. Одно зеркало вогнутое с радиусом кривизны 3 м, второе — плоское. В плоском зеркале имелось отверстие связи диаметром 2 мм для вывода излучения из резонатора. Линии видимого участка спектра выделялись монохроматором УМ-2 и регистрировались фотумножителем ФЭУ-51. Анализ излучения и отождествление линий в инфракрасной области спектра проводились на спектрографе ИКС-21, а временные характеристики генерации фиксировались с помощью фотосопротивления на основе германия, легированного золотом. Разрешающее время входных цепей используемых световых приемников не превышало 0.3 мкsec.



Импульс тока (a); временные зависимости спонтанного излучения на переходе 4—2 НI,  $\lambda=4861 \text{ \AA}$  (b) и когерентного излучения на переходе 4—3 НI,  $\lambda=1.87 \text{ мкм}$  (c).

зависело как от величины тока разряда, так и от давления и состава смеси, наполнившей разрядную трубку, и менялось в пределах  $0.5 \div 40$  мкsec.

Поскольку время «охлаждения» электронов плазмы для наших условий не превышает нескольких микросекунд [5], а времена жизни лазерных уровней много меньше, то, очевидно, что инверсия населенности не может являться результатом возбуждения лазерных уровней прямым электронным ударом. Свообразный провал на осциллограмме интенсивности линий водорода после окончания импульса тока (см. рисунок, б) связан с уменьшением возбуждения электронным ударом и последующим возрастанием скорости рекомбинации. Сравнение осциллограмм когерентного и спонтанного излучения с уровнями, имеющими главное квантовое число  $n=4$ , показывает, что оптическая генерация на переходе 4—3 атомного водорода возникает в течение рекомбинационного распада плазмы.

Отметим, что плотность электронов плазмы, используемой для получения генерации на длине волны 1.87 мкм (переход 4—3 НI), составляет величину порядка  $10^{13} \div 10^{14} \text{ см}^{-3}$ , что близко к значению, необходимому для реализации рекомбинационного механизма инверсии, рассмотренного в [2, 3].

#### Литература

- [1] К. Воскастен, Т. Лундхольм, О. Андраде. JOSA, 56, 1260, 1966.
- [2] Л. И. Гудзенко, Л. А. Шелепин. ЖЭТФ, 45, 1445, 1963.
- [3] Б. Ф. Гордиец, Л. И. Гудзенко, Л. А. Шелепин. Препринт ФИАН СССР, № 29, 1967.
- [4] R. W. Wood. Phil. Mag., 44, 538, 1922.
- [5] Б. Ф. Гордиец, Л. И. Гудзенко, Л. А. Шелепин. ЖТФ, 36, 1622, 1966.

Поступило в Редакцию 11 июня 1973 г.

УДК 537.228.5

## ОПРЕДЕЛЕНИЕ КОНСТАНТЫ ШТАРКА $\beta_j$ НА УРОВНЕ $7^2P_{3/2}\text{Cs}^{133}$ МЕТОДОМ АНТИПЕРЕСЕЧЕНИЯ

Г. И. Хвостенко, В. И. Хуторщиков и М. П. Чайка

Измерение константы Штарка  $\beta_j$  [1, 2] методом антипересечения уровней в некоторых случаях может быть проведено с использованием напряженностей электрического поля много меньших, чем это необходимо для определения  $\beta_j$  методом сдвига пересече-